

دراسة مرضية لتأثير المجال الكهرومغناطيسي الراديوبي بكثافات قدرة واطئة على ذكور الجرذان البيضاء

* صموئيل اوشنينا يوخنا و * كرم هاشم الملاح و ** عاصم عبد الكريم عزوز

* فرع علم الامراض، كلية الطب البيطري، جامعة الموصل.

** قسم الفيزياء، كلية العلوم، جامعة الموصل.

الموصل - العراق.

(الأسلام: 12 أيلول، 2006؛ القبول: 18 نيسان، 2007)

الخلاصة

صممت هذه الدراسة للت pari عن التأثيرات المرضية المحتملة التي تحدثها كثافات القدرة الواطئة من المجال الكهرومغناطيسي الراديوبي بتردد 2.45 ميكاهرتز في ذكور الجرذان البالغة عند تعرضها لهذا النوع من الإشعاع . يستخدم في هذه الدراسة 36 جرذاً بالغاً بعمر 3-4 أشهر حيث قسمت عشوائياً إلى 6 مجاميٍّ و بواقع 6 حيوانات لكل مجموعة. عرضت المجاميٌّ الأولى والثانية والثالثة والرابعة الخامسة إلى المجال الكهرومغناطيسي الراديوبي بتردد 2.45 ميكاهرتز وبكثافات قدرة 5 ملي واط/ سم^2 ، 1 ملي واط/ سم^2 ، 500 مايكروواط/ سم^2 ، 50 مايكروواط/ سم^2 و 10 مايكروواط/ سم^2 على التوالي. بينما تركت المجموعة السادسة لتتمثل مجموعة سيطرة غير معرضة. أستلمت المجاميٌّ المعرضة 6 ساعات من التعرض يومياً ولمدة 21 يوماً مثلث فترة التعرض تم خلالها تسجيل العلامات السريرية يومياً وأخذت أوزان الجسم ودرجة الحرارة الشرجية قبل وبعد التعرض أسبوعياً وقتلت 3 حيوانات من كل مجموعة عند نهاية فترة التعرض لإجراء الصفة النشيريجية و الفحص المرضي النسجي، بينما تركت 3 حيوانات أخرى لمدة 21 يوماً إضافية بدون تعریض مثلث فترة ما بعد التعرض تم بعدها إجراء الفحص المرضي العيني والنسيجي لمعرفة قدرة الحيوانات على التخلص من التأثيرات المرضية الناتجة من التعرض للمجال إن وجدت. لقد ظهرت بعض العلامات السريرية عند المجاميٌّ المعرضة وكانت على أشدتها عند المجموعة الأولى تميزت بوجود تهيج عصبي خلال الساعة الأولى للتعرض مع ميل الحيوانات للخمول والسكن بعد ذلك حتى إنتهاء التعرض، ولم يلاحظ وجود فروق معنوية في معدلات الأوزان بين المجاميٌّ المختلفة ضمن الأسبوع الواحد و عند أسبوع التجربة الثالثة، بينما أظهرت معدلات درجات الحرارة الشرجية وجود إنخفاض معنوي بعد التعرض مباشرةً مما كانت عليه قبل التعرض عند المجموعتين الأولى والثانية في نهاية الأسبوع الأول وكذلك عند المجموعة الثالثة في نهاية الأسبوع الثاني ولم تسجل اختلافات معنوية عند المجاميٌّ الأخرى طيلة فترة التعرض . لقد لوحظ وجود بعض التغيرات المرضية عند المجموعة الأولى تمثلت بالوذمة وإحتقان الأوعية الدموية وتکاثر طفيف للدبقيات الصغيرة في الدماغ، التهاب الرئتين والقصبات الحاد مع تشخن جدران الشرايين الرئوية، التنسك

* مستل من اطروحة دكتوراه للباحث الثاني 2006.

المخاطي وإحتقان لأوعية الدموية في الأمعاء الدقيقة بالإضافة إلى الإحتقان والتورم الخلوي الحاد لظهارة النبيبات الكلوية وكانت هذه التغيرات أقل شدة عند المجموعتين الثانية والثالثة بينما لم تظهر المجموعتين الرابعة الخامسة تغيرات مرضية مميزة عن مجموعة السيطرة. وتركزت التغيرات المرضية في نهاية فترة ما بعد التعرض عند المحاميع الأولى والثانية والثالثة والتي أظهرت حالة إلتهاب الرئة والقصبات مع وجود التكيس المخاطي للأمعاء الدقيقة وكانت التغيرات أقل شدة مما لوحظ عند نهاية فترة التعرض.

PATHOLOGICAL STUDY OF THE EFFECT OF RADIOFREQUENCY ELECTROMAGNETIC FIELD WITH LOW POWER DENSITIES ON MALE ALBINO RATS

S. O. Youkhana*, K. H. Al-Mallah* and A. A. Azooz**

*Department of Pathology ,Collage of Veterinary Medicine

**Department of Physics ,Collage of Science.

University of Mosul. Mosul-Iraq.

ABSTRACT

This study designed to detect pathological effects of exposure to 2.45 MHz radiofrequency electromagnetic field with low power densities on mature male albino rats. 36 rats at 3-4 months age were used in the study, randomly divided to 6 groups with 6 animals for each group. The groups from 1-5 were exposed to 2.45 MHz radiofrequency electromagnetic field with different power densities : (5 MW/cm² , 1 MW/cm² , 500 μW/cm² , 50 μW/cm² and 10 μW/cm², respectively). The 6th group represented non exposed control group. The exposed groups received 6 hours of exposure daily for 21 days as an exposure period. Clinical signs were observed daily and body weight and rectal temperature were monitored weekly. At the end of exposure period 3 animals were killed from each group for gross and histopathological examination , the other 3 animals were left for another 21 days without exposure represented post exposure period to detect the ability of rats to recover from the induced pathological changes if existed. The results showed occurrence of clinical signs at all exposed groups and more severe at group 1 manifested by nervous excitation at 1st hour of exposure followed by depression and stagnation to the end of 6 hours of exposure. There was no significant difference between the groups in body weight averages at the 3 weeks of experiment. A significant decrease in post exposure rectal temperature comparing with pre exposure rectal temperature has been noticed at groups 1 and 2 in 1st week and at group 3 in 2nd week of experiment with no significant differences in other groups. Gross and histopathological examination at the end of exposure period revealed presence of some pathological changes at group 1 manifested by perineuronal edema, mild microglial proliferation and congestion in the brain, in lungs there was acute bronchopneumonia with pulmonary vascular arteriosclerosis, there was also mucinous degeneration in duodenal epithelium with congestion of small intestine, in kidneys there was acute cell swelling of renal tubular epithelium with congestion. These changes less severely occurred at the groups 2 and 3, the exposed groups 4 and 5 similar to control did not show any pathological changes. At the end of post exposure period, pathological

changes were detected at the groups 1,2 and 3 represented by bronchopneumonia and mucinous degeneration of small intestine .These changes were lighter than those observed at the end of exposure period .

المقدمة

تعد إشعاعات التردد الراديوى والمجوگات الدقيقة من أكثر أنواع الإشعاع الكهرومغناطيسى شیوعاً وإستخداماً في حياتنا العصرية حيث وفرت التقنيات الحديثة الكثير من مصادر هذه الإشعاعات كوسائل الاتصالات اللاسلكية وأجهزة البث الراديوى والتلفزيونى ذات التغطية الواسعة والهواتف النقالة وشبكات المعلومات الحاسوبية وأفران الموجات الدقيقة ذات الإستخدام المنزلى و أنظمة الرصد بالرادارات و العديد من الأجهزة الطبية المستخدمة للتشخيص أو العلاج (1). وبالتالي فقد أصبحنا نعيش بتماس دائم ومستمر مع الأمواج الكهرومغناطيسية المتبعة من جميع هذه التطبيقات مما دفع الباحثين إلى دراسة تأثيراتها الصحية على البشر والحيوانات لتجنب أضرارها المحتملة . فقد ذكر الباحثون (2،3،4) أن الإشعاع الكهرومغناطيسى الراديوى يؤثر سلباً على الخلايا العصبية الدماغية والجهاز العصبى وأشار الباحثون (5،6،7) أن هذه الإشعاعات تؤثر على الجهاز القلبى الوعائى وتغير من معدل ضربات القلب وسرعة جريان الدم فى الأوعية الدموية، في حين أورد الباحثون (8،9) أنها قد تحدث الضرر فى الأعضاء الحشوية كالكبد والكلى. ولم تتوفر لدينا دراسة تتناول تأثير المجال الكهرومغناطيسى الراديوى عند التردد 2.45 ميكاهرتز وبكتافات قدرة واطئة على الجسم الحي من ناحية مرضية ونسجية لذلك فقد تم تصميم الدراسة الحالية للوقوف على التأثيرات المرضية لهذا المجال إن وجدت ومعرفة قابلية الجسم على التخلص من هذه التأثيرات خلال فترة نقاوه محددة وباستخدام ذكور الجرذان البيضاء كنموذج لهذه الدراسة.

المواد وطرق العمل

الحيوانات المستخدمة: استخدمت ذكور الجرذان البيض بأعمار تراوحت ما بين 3-4 أشهر. تم تربيتها في بيت الحيوانات بكلية الطب البيطري/ جامعة الموصل وفي ظروف مختبرية خاصة .

جهاز توليد المجال الكهرومغناطيسى الراديوى: تم تصميمه في قسم الفيزياء بكلية العلوم/ جامعة الموصل وقد تكون الجهاز من منظومة الكترونية وجزء مشع يمثل قفص الجرذان التقليدي بعد ضبط المجال داخله.

أوزان الجسم: تم قياس أوزان الحيوانات بالغرام وباستخدام ميزان ذو كفة واحدة من نوع Seca ألماني المنشأ.

درجة الحرارة الشرجية: تم استخدام المحرار الطبى الزئبقي من نوع Artsana ألماني الصنع لقياس درجة حرارة الجسم بالدرجة المئوية عن طريق الشرج.

الصفة التشريحية: تم إجراء الصفة التشريحية لجميع الجرذان المستخدمة في الدراسة وسجلت التغيرات المرضية العيانية كما تمأخذ نماذج من أنسجة كل من الكبد ، الطحال، الكلية، الرئة، القلب، المعدة، الأمعاء، غشاء الخلب ، الدماغ و الخصية. ووضعت في محلول الفورمالين الداريء المتعادل 10% لغرض اجراء الفحوصات النسجية .

الفحص المرضي النسجي: تم معاملة العينات المحفوظة بتقطيعها إلى قطع صغيرة بحجم 1 سم³ ثم أجريت عليها عملية التمرير بالكحولات والزايول والشمع وحضرت

منها قوالب شمعية ثم قطعت بجهاز المشراح إلى شرائح نسجية بسمك 6-4 ميكرومتر وتم صبغها بالصبغة الروتينية الهيماتوكسيلين والأيوزين (10).
التحليل الإحصائي: تم تحليل البيانات الخاصة بهذه الدراسة باستخدام اختبار التصميم الشوائي الكامل وإختبار دنكان تحت مستوى معنوية 5% (11).

تصميم الدراسة: إستخدم في هذه الدراسة 36 جرذاً قسمت عشوائياً إلى 6 مجاميع و يواقع 6 حيوانات لكل مجموعة. عرضت المجاميع الأولى و الثانية و الثالثة و الرابعة و الخامسة إلى المجال الكهرومغناطيسي الراديوي بتردد 2.45 ميakahترن وبكتافات قدرة 5 ملي واط/سم² ، 1 ملي واط/سم² ، 500 ميكروواط/سم² ، 50 ميكروواط/سم² و 10 ميكروواط/سم² على التوالي. بينما تركت المجموعة السادسة لتمثل مجموعة سيطرة غير معرضة . أستلمت المجاميع المعرضة 6 ساعات من التعرض يومياً ولمدة 21 يوماً مثلث فترة التعرض تم خلالها تسجيل العلامات السريرية يومياً وأخذت أوزان الجسم ودرجة الحرارة الشرجية قبل وبعد التعرض أسبوعياً وقتلت 3 حيوانات من كل مجموعة عند نهاية فترة التعرض لإجراء الصفة التشريحية و الفحص المرضي النسجي ، بينما تركت 3 حيوانات أخرى لمدة 21 يوماً إضافية بدون تعریض مثلث فترة ما بعد التعرض تم بعدها قتل الحيوانات وإجراء الفحص المرضي العياني والنسجي.

النتائج

العلامات السريرية: ظهرت بعض العلامات السريرية على مجاميع الجرذان المعرضة للمجال الكهرومغناطيسي وكانت على أشدّها عند المجموعة الأولى تميزت بحدوث تهيج عصبي خلال الساعة الأولى من التعرض والذي تمثل بزيادة النشاط الحركي. زيادة في التعرق زيادة في التحسس من الصوت والحركة. زيادة في السلوك العدائي والنشاط الجنسي مع محاولة تسلق القفص للأرتقاء والإبعاد عن مستوى المجال الكهرومغناطيسي أعقبتها فترة خمول حتى إنتهاء التعرض حيث كانت الحيوانات هادئة ومتجمعة عند حافة القفص ، سهلة المسك باليد. قليلة الإستجابة للمؤثرات الخارجية مع فقدان الدقة في تحديد إتجاه الماء والعلف وسرعان ما عادت إلى الحالة الطبيعية بعد 5-10 دقائق من إنتهاء التعرض. كما لوحظ وجود زيادة كبيرة في إستهلاك العلف للحيوانات المعرضة مقارنة بحيوانات السيطرة خلال الأسبوع الأول من التعرض وعودتها إلى الحالة الطبيعية في الأسبوعين الثاني والثالث.

معدلات الأوزان الأسبوعية: يظهر الجدول (1) عدم وجود فروق معنوية بين معدلات الأوزان للمجاميع المختلفة ضمن الأسبوع الواحد طيلة فترة التعرض.

درجات الحرارة الشرجية: يظهر الجدول (2) وجود إنخفاض معنوي في معدلات درجات الحرارة الشرجية لحيوانات التجربة بعد التعرض مباشرةً عما كانت عليه قبل التعرض عند المجموعتين الأولى والثانية في نهاية الأسبوع الأول وكذلك عند المجموعة الثالثة في نهاية الأسبوع الثاني ولم تسجل فروق معنوية لدرجة الحرارة قبل وبعد التعرض عند المجاميع الأخرى خلال الأسابيع الثلاثة للتعرض، أما بالنسبة لدرجات الحرارة قبل التعرض فقد لوحظ وجود تفوق معنوي للمجموعة الأولى مقارنة بمجموعة السيطرة في نهاية الأسبوعين الثاني والثالث. بينما لم تظهر المجاميع الأخرى فروقاً معنوية فيما بينها في معدلات درجات الحرارة الشرجية قبل التعرض خلال الأسابيع الثلاثة للتعرض.

التغيرات المرضية العيانية: ظهرت بعض التغيرات العيانية عند إجراء الصفة التشريحية في نهاية فترة التعريض وكانت أشدّها عند المجموعة الأولى حيث لوحظ إحتقان طفيف في الكبد مع وجود مناطق شاحبة كما لوحظ إحتقان طفيف في الطحال والدماغ والأمعاء الدقيقة مع تضخم وشحوب الكليتين. كما لوحظ وجود ذات الرئة متمثلة بإحتقان شديد للرئتين مع وجود مناطق من التكبد الأحمر والنفاخ الرئوي ولم تلاحظ تغيرات في الأعضاء الأخرى. وفي نهاية فترة مابعد التعريض لم تلاحظ أية تغيرات مميزة عدا وجود حالات من التكبد الرمادي وإنكماش الرئة في بعض الحيوانات وإحتقان طفيف للأمعاء الدقيقة وظهرت هذه التغيرات بشكل أقل حدة عند المجموعتين الثانية والثالثة في حين لم يلاحظ وجود أفات مميزة للمجموعتين الرابعة والخامسة بالمقارنة مع مجموعة السيطرة عند فترتي التعريض وما بعد التعريض.

التغيرات المرضية النسجية: لوحظت التغيرات المرضية النسجية عند المجموعة الأولى في كل من الدماغ والرئتين والأمعاء الدقيقة والكبد والكليتين. حيث لوحظ وذمة حول الخلايا العصبية والأوعية الدموية مع تكاثر طفيف للدبيقات الصغيرة في الدماغ (صورة 1). كما لوحظ أيضاً التهاب الرئتين والقصبات الحاد متمنلاً بإحتقان شديد للأوعية الدموية وإرتشاح العدلات والخلايا اللمفية وظهور نضحة التهابية في الأسنان الرئوية والقصبات الهوائية مع النفاخ الرئوي الشديد بالإضافة إلى تثخن جدران الشرايين الرئوية (صورة 2). وفي الأمعاء لوحظ إحتقان الأوعية الدموية مع إرتشاح شديد للخلايا اللمفية وإنسلاخ ظهارة الزغابات المعاوية وسقوطها في التجويف مع ظهور مراحل من التكبس المخاطي Mucinous degeneration في الخلايا الظهارية والخلايا المبطنة للغدد المعاوية وعدد كبير من الخلايا الكأسية (الصورتين 3 و4). أما في الكبد فقد لوحظ إحتقان الأوعية الدموية وإرتشاح طفيف للخلايا اللمفية في الباحات البابية الكبدية مع وجود التغير الدهني الطفيف في الخلايا الكبدية (الصورة 5). وفي الكليتين لوحظ إحتقان الأوعية الدموية والتورم الخلوي الحاد لظهارة النبيبات الكلوية (الصورة 6). لوحظت هذه التغيرات وبشكل أقل شدة في المجاميع الثانية والثالثة بينما لم يلاحظ تغيرات مرضية مميزة في المجاميع الرابعة والخامسة مقارنة بمجموعة السيطرة سوى ظهور وذمة طفيفة حول الخلايا العصبية الدماغية عند المجموعة الرابعة. بينما تركزت التغيرات المرضية النسجية في نهاية فترة ما بعد التعريض عند المجاميع الأولى والثانية والثالثة في كل من الرئتين والأمعاء الدقيقة. حيث لوحظ وجود التهاب الرئة والقصبات مع نضحة ليفيتينية في الأسنان الرئوية وإرتشاح خلايا لمفية وإحتقان الأوعية الدموية. أما في الأمعاء الدقيقة فقد لوحظ وجود التكبس المخاطي وإرتشاحات للخلايا اللمفية أقل شدة مما لوحظ في نهاية فترة التعريض. ولم يلاحظ وجود تغيرات مرضية مميزة للمجموعتين الرابعة والخامسة بالمقارنة مع مجموعة السيطرة.

الجدول 1: التغيرات في معدلات الأوزان الأسبوعية بين المجاميع المختلفة أثناء فترة التعرض.

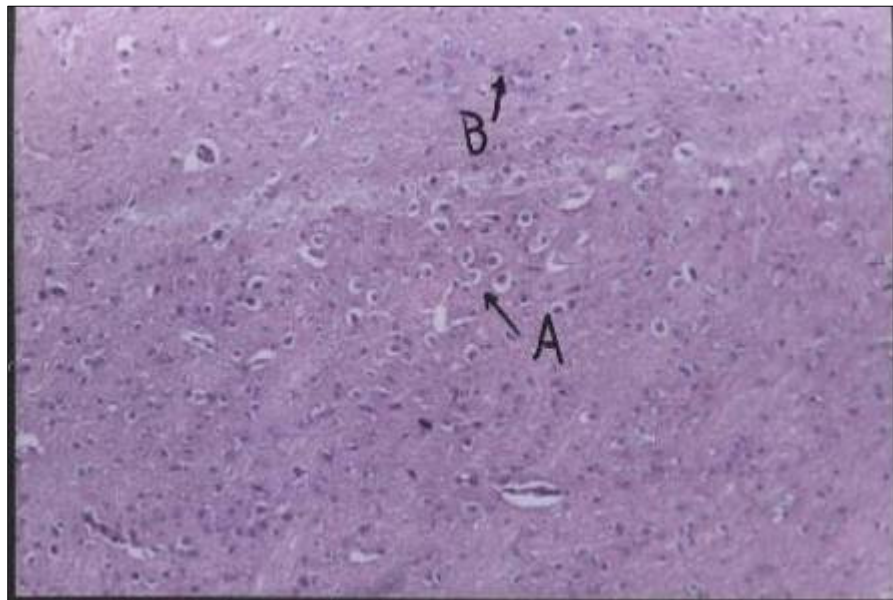
فترة التعرض				
21	14	7	1	اليوم
A 230.3 ± 30.8	A 213.6 ± 33.1	A 201.8 ± 30.5	A 186.6 ± 28.2	المجموعة السيطرة غير معرضة للمجال الكهربومنغناطيسي
A 262.6 ± 12.5	A 245.8 ± 10.2	A 218.8 ± 12.5	A 182.6 ± 8.3	الأولى معرضة للمجال الكهربومنغناطيسي عند التردد 2.45 ميكاهرتز وبكثافة قدرة 5 ملي واط/سم ²
A 239.8 ± 10.2	A 229 ± 11.7	A 207.5 ± 13.1	A 188.3 ± 14.8	الثانية معرضة للمجال الكهربومنغناطيسي عند التردد 2.45 ميكاهرتز وبكثافة قدرة 1 ملي واط/سم ²
A 247.1 ± 10.1	A 226.3 ± 12.4	A 203.0 ± 12.6	A 189.1 ± 13.6	الثالثة معرضة للمجال الكهربومنغناطيسي عند التردد 2.45 ميكاهرتز وبكثافة قدرة 500 مايکرو واط/سم ²
A 242.5 ± 23.4	A 227.5 ± 20.6	A 209.6 ± 17.8	A 187.1 ± 10.5	الرابعة معرضة للمجال الكهربومنغناطيسي عند التردد 2.45 ميكاهرتز وبكثافة قدرة 50 مايکرو واط/سم ²
A 246.6 ± 21.8	A 229.8 ± 21.1	A 215.8 ± 21.1	A 189.5 ± 19.6	الخامسة معرضة للمجال الكهربومنغناطيسي عند التردد 2.45 ميكاهرتز وبكثافة قدرة 10 مايکرو واط/سم ²

معدل الأوزان (غرام) ± الإنحراف القياسي.

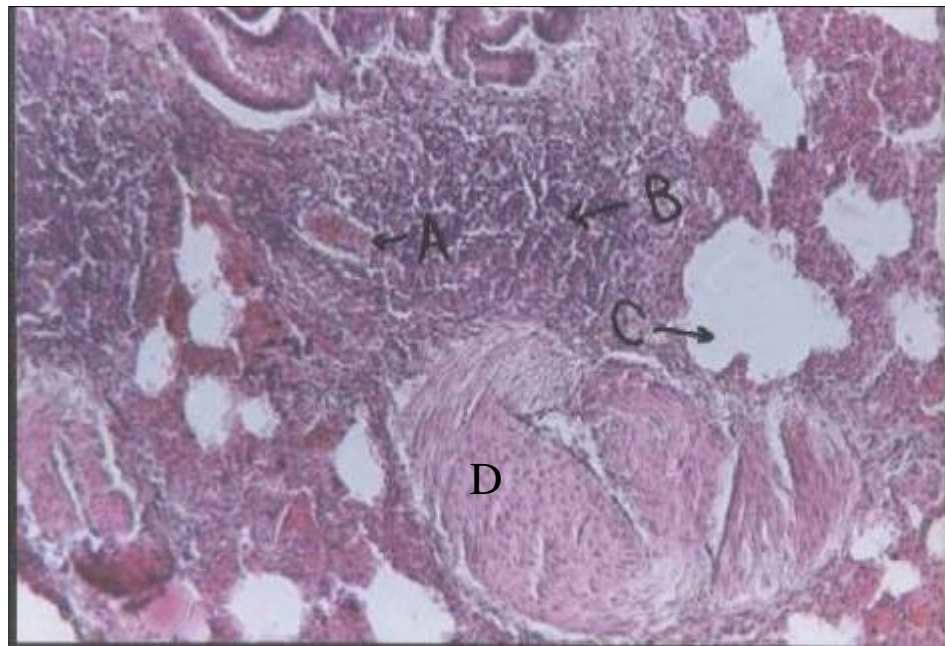
جدول 2: معدلات درجات الحرارة الشرجية قبل وبعد التعرض بين المجاميع المختلفة للتجربة.

فترة التعرض				
21	14	7	1	اليوم المجموعة
A 230.3 ± 30.8	A 213.6 ± 33.1	A 201.8 ± 30.5	A 186.6 ± 28.2	السيطرة غير معرضة للمجال الكهربو-مغناطيسي
A 262.6 ± 12.5	A 245.8 ± 10.2	A 218.8 ± 12.5	A 182.6 ± 8.3	الأولى معرضة للمجال الكهربو-مغناطيسي عند التردد 2.45 ميكاهرتز وبكثافة قدرة 5 ملي واط/سم ²
A 239.8 ± 10.2	A 229 ± 11.7	A 207.5 ± 13.1	A 188.3 ± 14.8	الثانية معرضة للمجال الكهربو-مغناطيسي عند التردد 2.45 ميكاهرتز وبكثافة قدرة 1 ملي واط/سم ²
A 247.1 ± 10.1	A 226.3 ± 12.4	A 203.0 ± 12.6	A 189.1 ± 13.6	الثالثة معرضة للمجال الكهربو-مغناطيسي عند التردد 2.45 ميكاهرتز وبكثافة قدرة 500 مايكرو واط/سم ²
A 242.5 ± 23.4	A 227.5 ± 20.6	A 209.6 ± 17.8	A 187.1 ± 10.5	الرابعة معرضة للمجال الكهربو-مغناطيسي عند التردد 2.45 ميكاهرتز وبكثافة قدرة 50 مايكرو واط/سم ²
A 246.6 ± 21.8	A 229.8 ± 21.1	A 215.8 ± 21.1	A 189.5 ± 19.6	الخامسة معرضة للمجال الكهربو-مغناطيسي عند التردد 2.45 ميكاهرتز وبكثافة قدرة 10 مايكرو واط/سم ²

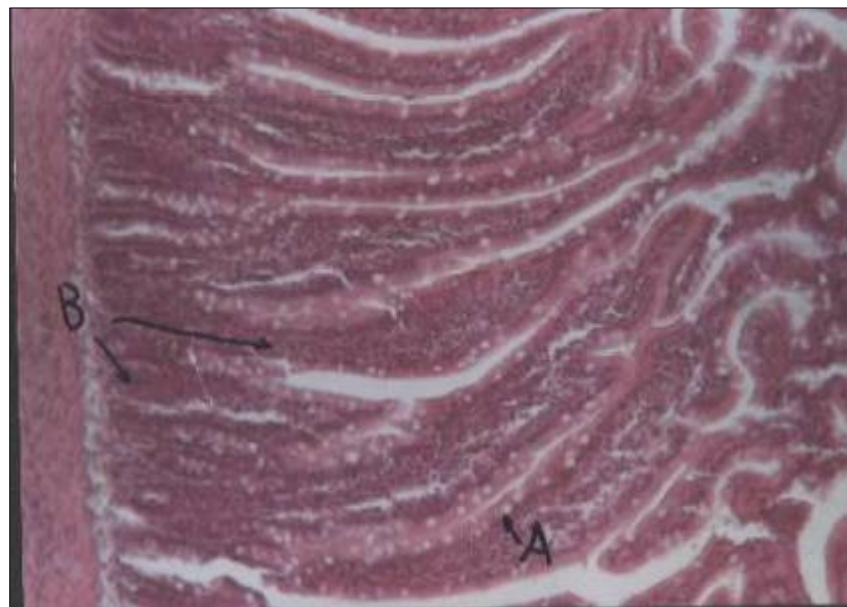
معدلات درجات الحرارة (درجة مئوية) ± الإنحراف القياسي



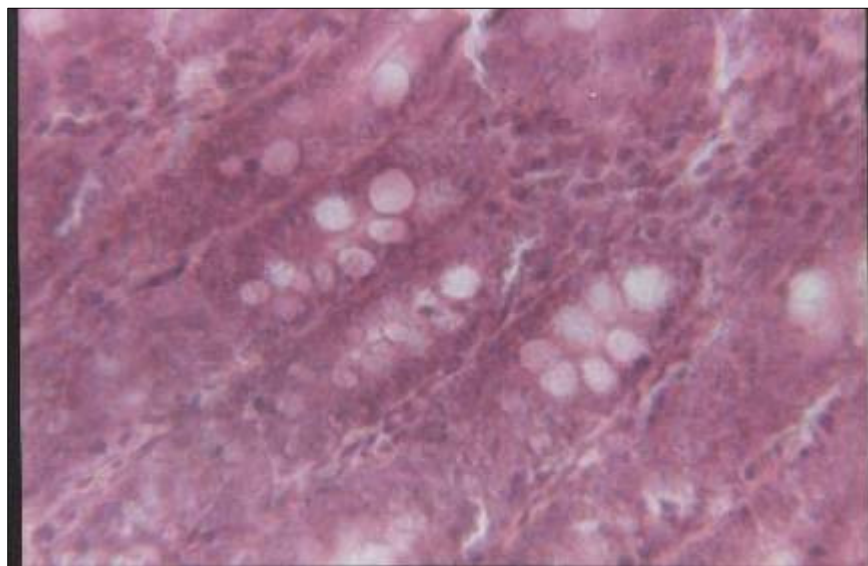
الصورة (1): مقطع في الدماغ (المخ) لجرذ من المجموعة الأولى عند نهاية فترة التعریض يوضح وذمة حول الخلايا العصبية والأوعية الدموية(A). مع نکاثر طفیف للدبقیات الصغیرة (B). الصبغة H & E قوة التکبیر X 40X



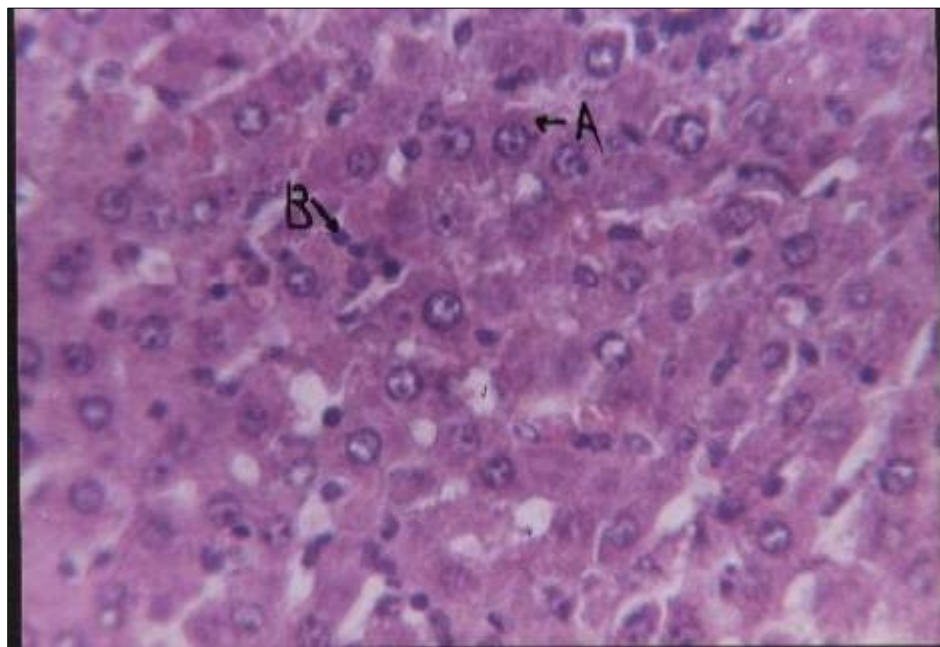
الصورة (2): مقطع في الرئة لجرذ من المجموعة الأولى عند نهاية فترة التعریض يوضح احتقان الأوعية الدموية(A). وارتشاح الخلايا الالتهابیة والسوائل الخربیة في الاسناخ الرئویة (B). مع ظهور حالة النفاخ الرئوي (C) وظهور حالة تشنخ جدران الشرايين(D) نتيجة لضخامة الالیاف العضلیة. الصبغة H & E قوة التکبیر X 100X



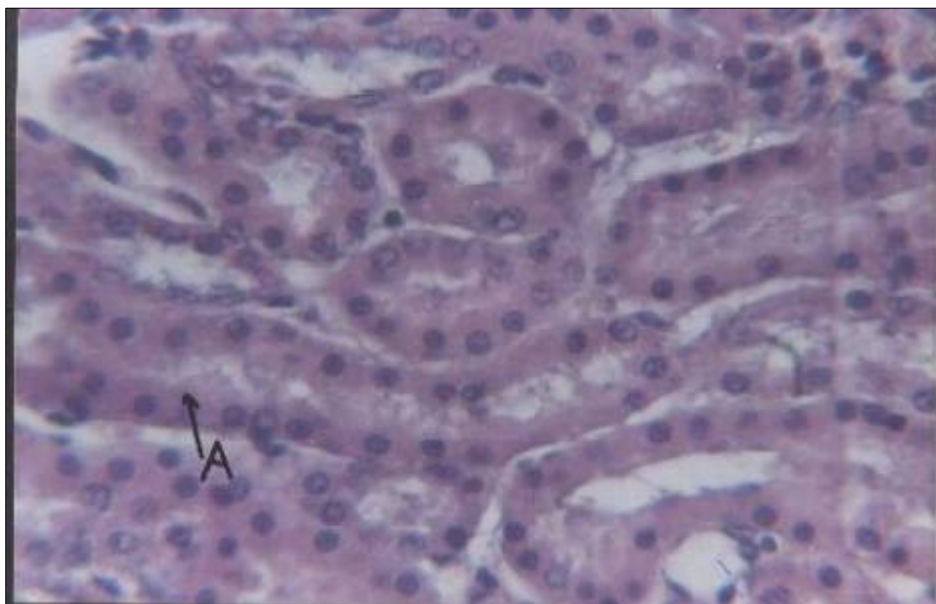
الصورة (3): مقطع في الأمعاء لجرذ المجموعة الأولى عند نهاية فترة التعرض
يوضح وجود مراحل من التكثس المخاطي في هيولى الخلايا المبطنة
للزغابات ووجود العديد من الخلايا الكأسية (A). مع ارتشاحات للخلايا
اللمفية في طبقة فاتح الأمعاء (B)
الصبغة H & E قوة التكبير X 100X



الصورة (4): صورة مكبرة للصورة(3) توضح التكثس المخاطي للأمعاء الدقيقة .
الصبغة H & E قوة التكبير X 400X



الصورة (5): مقطع في الكبد لجرذ من المجموعة الأولى عند نهاية فترة التعریض
يوضح التکس الفجوي في هیولي الخلايا الكبدية (A). مع ارتشاح طفیف
للخلايا اللمفیة(B). الصبغة H & E قویة التکبیر X 400



الصورة (6): مقطع في الكلية لجرذ من المجموعة الأولى عند نهاية فترة التعریض يوضح
التورم الخلوي الحاد في خلايا النبیبات الكلوية(A).
الصبغة H & E قویة التکبیر X 400

المناقشة

لقد لوحظ من العلامات السريرية وجود زيادة في النشاط الحركي والتهيج عند كافة المجاميع المعروضة خلال الساعة الأولى للتعرض مع الميل للخمول والسكون بعد ذلك حتى انتهاء فترة التعرض لتعود بعدها إلى الحالة الطبيعية، وهذا يؤكد ما ذكره الباحثان (12) بكون الفثran المعروضة للمجال المغناطيسي بتردد 60 هرتز قد أظهرت زيادة ملحوظة في الفعالية الحركية والاحتياج العصبي عند بداية التعرض وقلة في الاستجابة الحركية والميل إلى الخمول مع تقدم الزمن بفترات التعرض وكذلك مع ما اورده (13) بأن الجرذان تدخل إلى حالة من الخمول أو السبات عند التعرض للمجال الكهربائي بتردد 60 هرتز لفترة طويلة ، وكذلك يشابه نتائج الباحثة (14) التي لاحظت زيادة في الفعالية الحركية في نهاية الأسبوع الأول للتعرض بعد تعریض الجرذان للتعدد 1.2 ميكاهرتز ولثلاث ساعات يومياً مع انخفاض غير معنوي للفعالية الحركية في نهاية الأسبوع الثاني و انخفاض معنوي للفعالية الحركية في نهاية الأسبوع الثالث للتعرض . وقد يعود السبب في ذلك إلى تأثيرات المجال الكهرومغناطيسي على الجهاز العصبي المركزي من خلال تحفيزه للأفيونات الداخلية في الدماغ (15). وكذلك تأثيره على فعالية خميرة الاستيتايل كوليin والتي تزداد عند التعرض لأشعاع التردد الراديوi لفترة قصيرة تبدأ بعدها بالانخفاض في مناطق مختلفة من دماغ الجرذان عند استمرار التعرض (16)، وقد يعزى السبب أيضاً إلى التأثيرات المحدثة بال المجال على تغيير النسق اليومي لانتاج الميلاتونين من قبل الغدة الصنوبيرية والذي يؤدي غالباً إلى تثبيط النشاط وإحداث الكآبة (17). إن ملاحظة الزيادة في استهلاك العلف عند المجاميع المعروضة خلال الأسبوع الأول ربما يكون مرتبطاً بارتفاع مستوى الأيض عند تلك الحيوانات والذي قد ينتج من التهيج العصبي فضلاً عن التأثيرات المحدثة على الجهاز القلبي الوعائي ولاسيما تنشيط الدورة الدموية الدقيقة في الجلد والاطراف (18). وإن هذه الزيادة ربما كانت مرتبطة بتغيرات الأيض المترافق مع افراز الستيرويدات الفشرية عند التعرض للمجال عن طريق إحداث التهيج العصبي وحث الغدة النخامية على تحفيز افراز هذه المركبات من الغدة الكظرية والذي يعكس حالة الكرب التي يسببها اشعاع التردد الراديوi (19). وبافتراض أن هذه الاستجابة تقل تدريجياً مع تعود الحيوانات على نظام التعرض اليومي فإن ذلك قد يفسر عودة الحيوانات إلى الحالة الطبيعية في استهلاك العلف مع بداية الأسبوع الثاني من التعرض. إن عدم وجود فروق معنوية في معدلات الأوزان الأسبوعية لمجاميع التجربة ضمن كل أسبوع على حدة يتفق مع ما اورده (20) من أن تعریض مجاميع من الجرذان لأشعاع التردد الراديوi وبترددات واطئة لفترة زمنية طويلة لا يحدث فرقاً معنويًّا في اكتساب الوزن اليومي بالمقارنة مع الجرذان غير المعروضة. لقد أظهرت النتائج أيضاً وجود انخفاض معنوي في معدلات درجات الحرارة الشرجية عند المجموعتين الأولى والثانية في نهاية الأسبوع الأول من التعرض وكذلك عند المجموعة الثالثة في نهاية الأسبوع الثاني من التعرض عند قياسها بعد انتهاء التعرض مباشرةً مما كانت عليه قبل التعرض بينما لم تظهر المجاميع الأخرى فروقات معنوية تذكر و هذه النتائج لا تتفق مع ما عرف عن تأثير إشعاع التردد الراديوi في رفعه لدرجة حرارة الجسم والمواد الحيوية المعروضة له (21 و 22). إن تعریض الجرذان لمجال إشعاع التردد الراديوi يضيف

بالضرورة طاقة حرارية الى الجسم متمثلة بمعدل الامتصاص النوعي والتي تبقى مستمرة طيلة فترة التعرض لذا فإن الانخفاض المسجل في درجة الحرارة عند حيوانات المجاميع الأولى والثانية والثالثة يمكن أن يعزى إلى الانخفاض في معدل انتاج الحرارة داخل الجسم بعد 6 ساعات متصلة من التعرض وقد يتعلق ذلك بحدث الكرب على الجهاز العصبي والذي قد يسبب دخول الحيوانات إلى حالة من الخمول أو السبات (13) حيث ينخفض معه بالضرورة معدل انتاج الطاقة الحرارية الايضية في الجسم وهذا التفسير تؤيده ظهور العلامات السريرية المتمثلة بال الخمول المترافق مع استمرار التعرض خاصة عند المجاميع المعرضة لكتافات قدرة أعلى، وان 6 ساعات من التعرض قد تكون كافية أيضاً بتفعيل الآليات التنظيم الحراري في الجسم من أجل احتواء الزيادة في الطاقة الحرارية المتمثلة بمعدل الامتصاص النوعي لطاقة الأشعاع مما قد يسبب ثبات درجة الحرارة وعدم ظهور فروق معنوية لدرجة الحرارة قبل وبعد التعرض كما لوحظ عند المجاميع المعرضة الأخرى وإن التفوق المعنوي للمجموعة الأولى عن مجموعة السيطرة في معدل درجات الحرارة الشرجية المأخوذة صباحاً أو قبل التعرض للأسبوعين الثاني والثالث من فترة التعرض قد يكون مرتبطًا مع تطور حالة التهاب الرئة والقصبات وهو ما أثبتته الفحوصات المرضية العيانية والنسجية لهذه المجموعة وإن هذه التغيرات المرضية قد تكون مسؤولة عن الارتفاع في درجة حرارة الجسم.

لقد أظهرت الفحوصات المرضية العيانية والنسجية وجود تغيرات مرضية في نهاية فترة التعرض تركزت عند المجموعة الأولى وظهرت بشكل أقل شدة عند المجموعتين الثانية والثالثة ولوحظ اختفاء معظمها باستثناء التهاب الرئة والقصبات والذي لوحظ مراحل من الشكل المزمن له و التكيس المخاطي في الامعاء الدقيقة في نهاية فترة ما بعد التعرض لهذه المجاميع الثلاثة. إن ظهور هذه التغيرات المرضية جاءت متقدمة مع ما ذكره (23) من أن التعرض المزمن لأشعاع التردد الراديوي يمكن أن يؤدي إلى ظهور الأمراض التكيسية العصبية في الدماغ وكذلك مع ما وجده (24) من أن تعریض الجرذان إلى مجال اشعاع التردد الراديوي بتردد 20 ميكاهرتز لمدة 6 ساعات يومياً لمدة 6 أسابيع يؤدي إلى تطور التهاب الرئة الشديد المتميز بالآفات النخرية وارتشاح الخلايا البلعمية واللمفية وأن هذه الآفات النسجية هي آفات مميزة لاصابة الجهاز التنفسي بالمايكوبلازم، ويمكن اعتبار التغيرات التكيسية الطفيفة في كل من الكبد والكلى والأمعاء الدقيقة لحيوانات المجاميع الأولى والثانية والثالثة مخففة لما لوحظ من آفات في هذه الأعضاء بسبب التعرض لأشعاع التردد الراديوي في دراسات أخرى استخدمت المجال بتردد وكثافة طاقة عالية (25) ان كوي الاورام السرطانية في الكبد باشعاع الموجات الدقيقة يسبب التixer في خلايا الورم بسبب الحرارة بينما تحاط المنطقة المعالجة بنطاق من الخلايا الكبدية ذات سايتوبلازم أكثر حامضية من المعتاد وانوية تصطبغ بشدة بالهيماتونكسلين لوحظت خلال يومين بعد اعطاء العلاج وإن هذه الخلايا تكون سالبة لاختبارات الفعالية الانزيمية النسجية وموجة لاختبار المستضدية بالـ $\text{Na}^+ - \text{K}^+$ -ATPase مما يشير إلى أن هذا النطاق من الخلايا سوف يواجه النخر. وذكر (9) أن تعریض الجرذان لأشعاع الموجات الدقيقة بكثافة قدرة 2.65 ملي واط/سم² وبتردد 9450 ميكاهرتز لساعة واحدة يومياً ولمدة 26 و 52 يوماً على التوالي يسبب التكيس الفجوبي للخلايا المبطنة للنبيب الكلوي وتغيرات تكيسية في الكبيبات الكلوية عند مدئي التجربة. إن ما لوحظ من التغيرات التكيسية للخلايا العصبية والخلايا الدقيقة في الدماغ قد يعزى إلى تأثيرات اشعاع التردد الراديوي الجينية ودوره في توليد الجذور الحرة وإحداث

الاجهاد التأكسدي ، فقد وجد الباحثان (2) أن هنالك زيادة في تكسر الخيط المفرد وكذلك المزدوج لـ-DNA في خلايا دماغ الجرذان بعد التعرض لأشعاع التردد الراديوي وان المقدرة المحدودة للخلايا العصبية في اصلاح هذه التكسرات تسبب تأثيراً تركمياً من تلف الـ-DNA. ولاحظ الباحثان (3) ان معالجة الجرذان بковاسح الجذور الحرة يوقف تأثير اشعاع التردد الراديوي على DNA خلايا دماغ الجرذان وبالتالي فقد اقترح ان اشعاع التردد الراديوي يحدث تأثيراته الجينية ويسبب تكسر خيوط DNA من خلال تحفيزه لفعالية الجذور الحرة في الخلايا، واكد الباحثان (26) ان التعرض للمجال الكهرومغناطيسي يسبب ارتباطات تصالبية بين الـ-DNA وبين الـ-DNA والبروتين والتي تزيد من موت ونخر خلايا الدماغ في الجرذان، ووجد الباحثان ان معالجة الجرذان بصادفات الحديد Iron-chelator قبل تعریضها للمجال يمنع تأثير المجال على الـ-DNA، ومن هذه النتائج تم افتراض أن المجال الكهرومغناطيسي يحفز آلية معتمدة على ايونات الحديد تعرف بتفاعل فنتون Fenton reaction والتي يزداد بسبيها تكون جذور الهابيروكسي Hydroxy free radicals في الخلايا المعرضة مؤدية الى تكسر خيوط DNA وموت الخلية، إن الخلايا عالية الاحتياج لأخذ ايونات الحديد كالخلايا سريعة التكاثر او النامية والخلايا المصابة بحمات DNA وكذلك الخلايا ذات المعدلات الايضية العالية كالخلايا العصبية سوف تكون اكثر حساسية لتأثيرات المجال الكهرومغناطيسي، وبالنسبة للخلايا سريعة التكاثر فان أكثر اوضاعها حساسية هي في الطور الأول من دورة الانقسام للخلية عندما تكون مستقبلات الترانسفيرين Transferrin فعالة وضخ ايونات الحديد عالياً الى داخل الخلية حيث تتكون عندها جذور الهابيروكسي من بيروكسيد الهابيروجين من خلال تفاعل فنتون بوجود ايون الحديد، أما الخلايا ذات الفعالية الايضية العالية فانها تنتج عادة كميات كبيرة من بيروكسيد الهابيروجين من خلال آلية نقل الالكترونات في المايتوكوندريا ولذلك فانها تكون اكثر حساسية عند التعرض الى المجال الكهرومغناطيسي، ومن جانب اخر فإن تأثيرات مؤذية محتملة عند التعرض للمجال الكهرومغناطيسي قد تكون معتمدة على قابلية الخلايا على خزن الحديد في مركبات الفيريتين Ferritin حيث تعد الخلايا الكبدية اقل حساسية للمجال الكهرومغناطيسي بالرغم من المعدلات العالية لضخ ايونات الحديد الى داخل الخلايا وذلك بسبب احتوائها على كميات كبيرة من الفيريتين (27). وقد ينتج تأثير مجال اشعاع التردد الراديوي على الخلايا العصبية الدماغية من خلال التأثير المحتمل لهذا الاشعاع على الحاجز الدموي الدماغي مما قد يؤدي الى زيادة نفودية هذه الحاجز حيث قد تسمح بعبور ذيفانات او مواد سامة تسبب الاذى للخلايا العصبية، فقد ذكر (7) أن تعریض نموذج مطابق للحاجز الدموي الدماغي يتكون من الخلايا النجمية للجرذان وخلايا بطانة الوعاء الدموي للخنازير الى اشعاع التردد الراديوي وبتردد 1.8 ميكاهرتز يسبب زيادة نفودية الغشاء لمادة C-Sucrose 14 مقارنة بالنماذج غير المعرضة للأشعاع. إن دور اشعاع التردد الراديوي في زيادة انتاج الجذور الحرة يمكن ان يفسر ايضاً ما لوحظ من تغيرات تتكسرية في الاعضاء الاخرى كالكبد والكليتين ، كما قد تلعب التأثيرات الحرارية لاشعاع التردد الراديوي دوراً مهماً في احداث مثل هذه التغيرات خاصة عند الاعضاء الحشوية المتباينة ذات المحتوى المائي العالى بسبب قدرة هذه الانسجة على امتصاص طاقة الاشعاع بصورة اكبر من الانسجة الاخرى كالجلد او العظام عن طريق تحويل طاقة الاهتزاز في جزيئات الماء الى طاقة حرارية، فقد اورد

(22) أن تموضع الطاقة الحرارية في الجسم لا يحصل بالتساوي لكافه أجزاء الجسم وإن الاختلافات في الخواص الكهربائية والقدرة على خزن وعكس الاشعاع بين الأنسجة المختلفة وحتى ضمن النسيج الواحد يمكنها ان تولد نقاط موضعية ساخنة.

إن تطور التهاب الرئة والقصبات عند المجاميع الأولى والثانية والثالثة قد يكون مؤشراً على انخفاض المناعة الطبيعية ضد العوامل الخمجية باعتبار ان السبيل التفسي من أكثر الاجهزه تاماً مع المحيط الخارجي، وإن هذا التداعي لجهاز المناعة قد يكون ناتجاً من التعرض لأشعاع التردد الراديوبي باعتبار ان هذه المجاميع تستلم كثافات قدرة أعلى من المجاميع المعرضة الأخرى . ومن الممكن كذلك ان يكون لتوليد الجذور الحرة وإحداث الاجهاد التأكسدي دوراً مهماً في إحداث التثبيط المناعي المحتمل من حيث كون خلايا البلعمات والخلايا اللمفية من الخلايا سريعة التكاثر نسبياً مما يجعلها حساسة لتأثير المجال الكهرومغناطيسي من حيث تحفيزه لتفاعل فنتون وتوليد لجذور الهايبروكسي في هذه الخلايا (3)، وهذا يتفق مع ما اورده (25) من ان الخلايا اللمفية للجرذان المنماة على المزارع الخلوية المضاف لها أيونات الحديد وعند تعریضها الى اشعاع التردد الراديوبي بتردد 930 ميكاهرتز ومعدل امتصاص نوعي 1.5 واط/ كغم لمدة 5 أو 15 دقيقة تظهر زيادة معنوية في مستوى جذور الاوكسجين الحر عند فترتي التعریض المستخدمة قياساً بالخلايا اللمفية غير المعرضة للاشعاع وأن تاثيرات مؤذية للخلايا المعرضة قد تم ملاحظتها بضمونها تلفـ DNA، بالإضافة الى ما لاحظه (29) من وجود أدلة على حدوث الجهد التأكسدي في الخلايا البلعمية للفئران في المزارع الخلوية بعد تعریضها لأشعاع التردد الراديوبي بتردد 847.7 وبمعدل امتصاص نوعي 0.8 واط/ كغم لمدة 20 – 22 ساعة متصلة. ومن المحتمل أن يكون التداخل مع وظيفة الجهاز المناعي ناتجاً عن الأضطرابات في أيض بعض العناصر ، فقد ذكر الباحثان (30) أن المعادن مثل أيونات الحديد والنحاس والخارصين تعد مهمة في أيض الخلايا اللمفية لللبائين من حيث نمو وتكاثر الخلية وتصنيعـ DNA وكذلك في تنظيم التراكيز الداخل خلوية للترانسفيرين ، إنفيريتين ، ثلاثي فوسفات الادينوسين والبروتينات وكذلك مستقبلات سطح الخلية للانترلوكين -2 ، في حين لاحظ الباحثون (31) انخفاضاً معنوياً في مستويات كل من النحاس والزنك في مصل الدم لاقرار الحليب المعرضة للمجال المغناطيسي بتردد 60 هرتز وكثافة 30 ملي نيسلا مقارنة بمجموعة سيطرة غير معرضة، ووجد الباحثون (32) أن العمال المعرضين للمجال الكهرومغناطيسي أظهروا انخفاضاً في مستويات كل من النحاس والزنك في مصل الدم، وقد عزى الباحثون هذه المستويات المتعددة من هذين العنصرين الى تنافسهما على الاتحاد بالميثيلوثايونين او طرح الزنك في مواجهة الجذور الحرة بوصفه مضاداً للأكسدة وعنصراً أساسياً في الوظائف الإيجابية خاصة تحت ظروف الكرب ، ولاحظ الباحثون أنفسهم أيضاً انخفاضاً في مستوى السيلينيوم في مصل الدم عند العاملين المعرضين للمجال الكهرومغناطيسي وأشاروا الى ان هذا الانخفاض قد يكون بسبب تأثيره الكاسح للجذور الحرة بوصفه عاملًا مختزلًا فضلاً عن دوره بوصفه مكوناً لبعض الانزيمات مثل الكلوتاثايون بيروكسيديز كما ولاحظوا ايضاً انخفاض مستوى الحديد وكذلك الكالسيوم في مصل دم العاملين المعرضين للمجال الكهرومغناطيسي. وإن سحب هذه العناصر من قبل خلايا الجسم اما كآلية مضادة للأكسدة أو بسبب زيادة الفعالية الإيجابية ربما يؤثر على توفرها للخلايا اللمفية او البلعمية سريعة التكاثر ويعطي مؤشر أعلى الاجهاد التأكسدي الناتج من الكرب.

المصادر

1. Cleveland JR, and Ulcek, JL. Questions and answers about biological effects and Potential hazards of radiofrequency electromagnetic field .OET Bulletin .56. 4th ed. Office of engineering and technology. Federal Communication Commission, Washington DC 20554. 1999. <http://www.niehs.nih.gov/emfrapid>.
2. Lai H, Singh NP. Single and double-Strand DNA breaks in the rat brain cells after acute exposure to low-level radiofrequency electromagnetic radiation. Int J Radiat Biol 1996; 69: 513 – 521.
3. Lai H, Singh NP. Melatonin and a spin-trap compound blocked radiofrequency radiation-induced DNA strand breaks in rat brain cells. Bioelectromagnetics 1997; 18: 446 – 454.
4. Schirmacher A, Winters S, Fischer S, Goeke J, Galla H, Kulluick U, Ringelstein EB, Stogbauer F. Electromagnetic fields (1.8 GHz) increase the permeability to sucrose of the blood – brain barrier in vitro. Bioelectromagnetics 2000; 21 (5): 338 – 345.
5. Yee KC, Chou CK and Guy AW. Influence of Microwave on the beating rate of isolated rat hearts. Bioelectromagnetics 1988; 9: 175 – 181.
6. Yamashita M, Ohsaki K, Shimizu K. Measurement of physiological effects of ELF electric field exposed by therapeutic instrument . Conference Digest of Ap-RASC' 01. 2001: 403.
7. Shimizu HO, Shimizu K. Experimental analysis on physiological effects of an ELF electric field exposure . Conference Digest of AP-RASC'01 . 2001: 402.
8. Ries MC, Milligan AJ, Merrick HW, Dobelbower RR. Biochemical and cellular effects of radiofrequency induced interstitial hyperthermia on normal canine liver. Int J Radiat Oncol Biol Phys 1988; 14(3): 529-536.
9. Nergiz Y, Ketani MA, Akdag Z, Ersay AR and Celik MS. Effect of low-intesity microwave radiation on rat kidney : An ultrastructural Study. Turk J Med Sci 2000; 30: 223 – 227.
10. Luna LG. Manual of histologic staining methods of the armed forces institute of pathology. 4th ed. 1968. McGraw-Hill Book Company, New York.
11. الراوي، خاشع محمود و عبد العزيز، محمد خلف. تصميم وتحليل التجارب الزراعية 1980. مطبع مديرية دار الكتب للطباعة والنشر. جامعة الموصل. الموصل، العراق.
12. Smith RF, Justesen DR. Effects of a 60-Hz magnetic field on activity levels of mice. Radio Sci 1977; 12(6): 279 – 286.
13. Hjeresen DL, Kaune WT, Decker JR, Phillips RD. Effects of 60-Hz electric fields on avoidance behavior and activity in rats. Bioelectromagnetics 1980; 1: 299 – 312.
14. Al-Ghulami, TN. Bioeffects of medium wave length electromagnetic radiation exposure in rats . 1999. PhD Thesis. Science College, University of Mosul .
15. Lai H, Horita A, Chou CK, Guy AW. Micro wave-induced postexposure hyperthermia : Involvement of endogenous opioids and serotonin. IEEE Tran. Micrwave Theory Tech 1984 . MTT-32: 882 – 887.

16. Lai H, Horita A, Guy AW. Acute low-level Microwave exposure and central cholinergic activity: Studies on irradiation parameters . Bioelectromagnetics 1988; 9: 355 – 362.
17. Wilson BW. Chronic exposure to ELF fields may induce depression .Bioelectromagnetics 1988; 9: 195 – 205.
18. Kawakubo T, Yamauchi K, Kobayashi T. Effects of magnetic field on metabolic action in the peripheral tissue . Japanese Journal of Applied Physics. Part 2-letters 1999; 38(10B): 1201 –1203.
19. Lotz WG, Michaelson SM. Effects of hypophysectomy and dexamethasone on rat adrenal response to microwaves. J Apph Physiol 1979; 47 (6): 1284 – 1288.
20. Johnson RB, Kunz LL, Thompson D, Crowley J, Chou CK, Guy AW. Effects of long –term low level radiofrequency radiation exposure on rats. Metabolism, Growth and Development. 1984. 7: 31 – 84.
21. Prausnitz S, Susskind C. Effects of Chronic microwave irradiation on mice. IRE Trans Bio Med Electron 1962: 104 – 108.
22. Sienkiewicz ZJ, Cridland NA, Kowalcuk CI, Saunders RD. Biological effects of electromagnetic fields and radiation. Review of radio science. New York, Oxford University Press; 1993: 737 – 770.
23. Lai H, Carino MA, Singh NP. Naltrexone blocked RFR-induced DNA double Strand breaks in rat brain cells .Wireless Network Journal 1997; 3: 471-476.
24. Wong LS, Merritt JH, Kiel JL. Effects of 20 – MHz radiofrequency radiation on rat hematology splenic function , and Serum chemistry . Radiat Res 1985; 103 (2): 186 – 195.
25. Takashi O, Mori I, Nakamura M, Utsunomiya H, Tabuse K, Kakudo K. Microwave cell death :Immuno-histochemical and enzyme histochemical evaluation . Pathology International 2003; 53(10): 686.
26. Singh NP, lai H . 60Hz magnetic field exposure induces DNA crosslinks in rat brain cells. Mutat Res 1998; 400: 313 – 320.
27. Lai. H. Genetic effects of nonionizing electromagnetic fields. International workshop on biological effects of ionizing radiation, electromagnetic fields and chemical toxic Agents . Sinaia Romania 2001; October 2 – 6: 74 – 80.
28. Zmyslony M, Politanski P, Rajkowska E, Szymczak W. Acute exposure to 930 MHz CW electromagnetic radiation in vitro effects species level in rat lymphocyte treated by iron ions. Bioelectromagnetics 2004; 25: 324 – 238.
29. Hook GJ, Spitz DR, Sim JE, Higashikubo R, Baty JD. Evaluation of parameters of oxidative stress after in vitro exposure to FMCW modulated radiofrcquency radiation fields. Radiat Res 2005; 163: 497 – 504.
30. Oblender M, Carpentieri U. Effects of iron, copper and zinc on the activity of ribonucleotide reductase in normal and leukemic human lymphocytes. Anti cancer Res 1990; 10: 23 – 128
31. Burchards JF, Nguyen DH, Block E. Macro- and trace element concentrations in blood plasma and cerebrospinal fluid of dairy cows exposed to electric and magnetic fields. Bioelectromagnetics 1999; 20: 358 – 364.
32. Nourmohammadi I, Ahmadvand H, Taghikhani M. Evaluation of levels of macro-and micro-nutrients in workers exposed to electromagnetic fields

and comparison with levels of patients with leukemia. Iran Biomed J 2001; 5(2): 79 – 85 .